

Convecção

Lista de exercicios 3

Cristian Herledy Lopez Lara

Exercício 3,19 livro texto

(a) Mostre que, no diagrama da Figura 1, a vazão de ar através da abertura e a transferência de calor por convecção são dadas pelas expressões

$$\dot{m} = (\rho_q - \rho_f) \frac{g D^3 H W}{24 \nu L} \quad (1)$$

$$q = \dot{m} C_p (T_q - T_f) \quad (2)$$

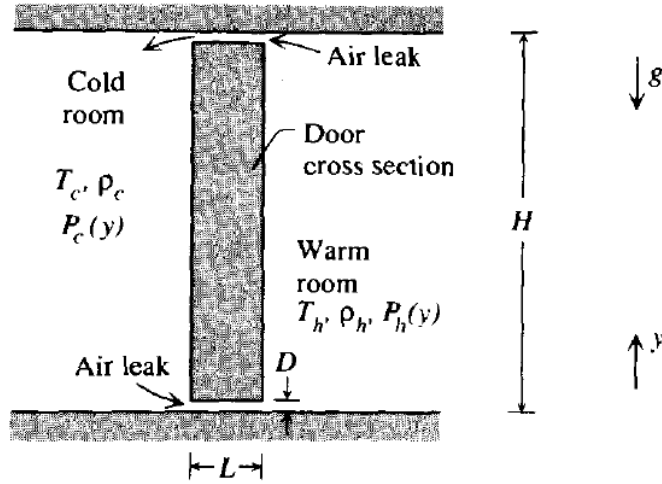


Figura 1: Diagrama de fluxo de ar entre volume quente e frio

Desenvolvimento

A pressão em cada volume depende da altura (y). Para cada volume é

$$P_q(y) = P_q(0) - \rho_q g y \quad (3)$$

$$P_f(y) = P_f(0) - \rho_f g y \quad (4)$$

$$\Delta P(y) = (\rho_q - \rho_f) g \frac{H}{2} \quad (5)$$

Assumindo o fluxo através das aberturas como placas planas, completamente desenvolvidas, a velocidade horizontal é calculada usando a equação de Hagen-Poiseuille. A distribuição de pressão é substituída pela equação (3) y $dx = L$

$$U = \frac{D^2}{12\mu} \left(\frac{-dP}{dx} \right) \quad (6)$$

$$U = \frac{D^2}{12\mu} \left(\frac{(\rho_q - \rho_f)g\frac{H}{2}}{L} \right) \quad (7)$$

Considerando o fluxo de massa atuando na área $A = WD$ como

$$\dot{m} = \rho U W D \quad (8)$$

Substituindo U

$$\dot{m} = \rho \frac{D^2}{12\mu} \left(\frac{(\rho_q - \rho_f)g\frac{H}{2}}{L} \right) W D \quad (9)$$

$$\dot{m} = \frac{D^3}{24\nu} \frac{(\rho_q - \rho_f)gHW}{L} \quad (10)$$

Esta expressão é equivalente à da equação (1)

(a) Calcular \dot{m} e q

Substituindo os valores numéricos em (2) e (10)

$$\dot{m} = \frac{(0,5 \times 10^{-3} m^3)^3 * 0,082 \frac{Kg}{m^3} * 9,81 \frac{m}{s^2} * 2,2m * 1,5m}{24\nu * 1,52 \times 10^{-5} \frac{m^2}{s} * 0,05m} = 1,823 \times 10^{-5} \frac{Kg}{s} \quad (11)$$

$$q = 1,823 \times 10^{-5} \frac{Kg}{s} * 1006 \frac{J}{Kg * K} * 20K = 0,36W \quad (12)$$

A vazão mássica é proporcional à altura da abertura na proporção de $q \sim D^3$. Portanto, um aumento em D incrementa proporcionalmente a taxa de transferência de calor.

Exercício 3,27 livro texto

Relatar analiticamente as expressões

$$\Delta \tilde{T}_{min} = \frac{(T_{peak} - T_0)}{\frac{q'''A}{k_0}} \quad (13)$$

$$\left(\frac{H}{L} \right)_{opt} \quad (14)$$

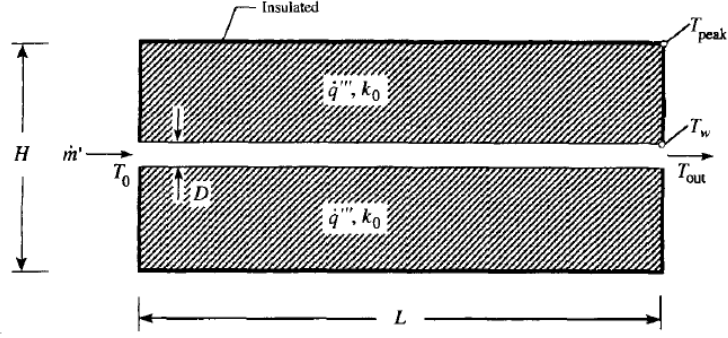


Figura 2: Volume sólido 2D com condutividade térmica k_0

Desenvolvimento

A área de transferência de calor e, portanto, a área a ser otimizada será dada por $A = HL$. O calor extraído obedece à equação

$$Q = q'''HL \quad (15)$$

O problema é analisado calculando a queda de temperatura do ponto mais quente até o ponto mais baixo T_0 . Na relação H/L , o fluxo de calor será perpendicular a U quando $\frac{H}{L} < 1$, y quando k_0 tem valores baixos.

Assim, a queda de temperatura entre o ponto mais quente T_{peak} e a saída do duto com o ar aquecido T_0 será dada pela equação de condução deduzida por [2, eq. 4.1]

$$\frac{\Delta Tk}{q'''A} = \frac{1}{8} \times \frac{H}{L} \quad (16)$$

$$(T_{peak} - T_w) = \frac{q'''HA}{8k} \quad (17)$$

E o aumento da temperatura por convecção ao longo da direção do fluxo será dado por

$$(T_{out} - T_0) = \frac{q'''HL}{\dot{m}C_p} \quad (18)$$

O excesso de temperatura é então a soma de ambas as expressões

$$\Delta\tilde{T} = (T_{peak} - T_w) + (T_{out} - T_0) = \frac{q'''HA}{8k} + \frac{q'''HL}{\dot{m}C_p} \quad (19)$$

Esta equação pode ser adimensional através das seguintes relações

$$H_{adim} = \frac{H}{\sqrt{A}}, \quad L_{adim} = \frac{L}{\sqrt{A}}, \quad M = \frac{\dot{m}C_p\sqrt{A}}{k} \quad (20)$$

$$\Delta\tilde{T} = \frac{H_{adim}}{8L_{adim}} + \frac{1}{MH_{adim}} \quad (21)$$

O valor ótimo desta expressão é calculado com a derivada igual a zero, considerando $H \sim \frac{1}{L}$.

$$\Delta\tilde{T} = \frac{H_{adim}^2}{8} + \frac{1}{MH_{adim}} \quad (22)$$

$$\frac{d}{dH_{adim}}\Delta\tilde{T} = \frac{2H_{adim}}{8} - \frac{1}{MH_{adim}^2} \quad (23)$$

$$\sim \frac{H_{adim}^3}{4} - \frac{1}{M} \sim H_{opt} = \left(\frac{M}{4}\right)^{\frac{1}{3}} \quad (24)$$

Como $H \sim \frac{1}{L}$.

$$L_{opt} = \left(\frac{4}{M}\right)^{\frac{1}{3}} \quad (25)$$

Quais são as expressões equivalentes a (14). É importante concluir que estas relações de aspecto global H_{opt} e L_{opt} são independentes de D . Agora, substituindo em (21)

$$\Delta\tilde{T}_{min} = \frac{\left(\frac{M}{4}\right)^{\frac{1}{3}}}{8\left(\frac{4}{M}\right)^{\frac{1}{3}}} + \frac{1}{M\left(\frac{M}{4}\right)^{\frac{1}{3}}} \sim 0,94M^{\frac{1}{3}} \quad (26)$$

Quando a vazão mássica \dot{m} e a área A são grandes, M aumenta. Com esta suposição, os cálculos serão válidos quando $M > 4$

$$M = \frac{\dot{m}C_p\sqrt{A}}{k} > 4 \quad (27)$$

Portanto, o fluxo de massa \dot{m}_{min} para garantir $\Delta\tilde{T}_{min}$ e manter a relação de aspecto ideal $\left(\frac{H}{L}\right)_{opt}$ será

$$M > \frac{4k}{C_p\sqrt{A}} \quad (28)$$

Exercício demonstração

Determinar o número de Nusselt para um escoamento interno, laminar, plenamente desenvolvido, com propriedades constantes, seção transversal circular e sujeito a um fluxo de calor uniforme na superfície.

Realizando um balanço de energia sem fluxo de calor por condução como na Figura 3, a equação de energia para o volume diferencial é descrita por

$$u\frac{\partial T}{\partial x} = \frac{\alpha}{r}\frac{\partial}{\partial r}\left(r\frac{\partial T}{\partial r}\right) \quad (29)$$

Reemplazando o gradiente axial da temperatura em termos da temperatura média e superficial, fica

$$\frac{\partial T}{\partial x} = \frac{(T_s - T)}{(T_s - T_m)} \frac{dT_m}{dx} \quad (30)$$

$$\frac{1}{r} \frac{\partial}{\partial r} \left(r \frac{\partial T}{\partial r} \right) = \frac{2u_m}{\alpha} \left(\frac{dT_m}{dx} \right) \left[1 - \left(\frac{r}{r_o} \right)^2 \right] \quad (31)$$

Integrando duas vezes para obter o perfil T, obtemos

$$T(r, x) = \frac{2u_m}{\alpha} \left(\frac{dT_m}{dx} \right) \left[\frac{r^2}{4} - \frac{r^4}{16r_o^2} \right] + C_1 \ln r + C_2 \quad (32)$$

$$CC1 = T = T_{(x,r)} @ r = 0 \quad CC2 = T_{rmax} = T_s(x) @ r = r_o \quad (33)$$

Aplicando as condições de contorno, $C_1 = 0$ e C_2 :

$$C_2 = T_s(x) - \frac{2u_m}{\alpha} \left(\frac{dT_m}{dx} \right) \left(\frac{3r_o^2}{16} \right) \quad (34)$$

Sustituindo na eq. (32)

$$T(r, x) = T_s(x) - \frac{2u_m r_o^2}{\alpha} \left(\frac{dT_m}{dx} \right) \left[\frac{3}{16} + \frac{1}{16} \left(\frac{r}{r_o} \right)^4 - \frac{1}{4} \left(\frac{r}{r_o} \right)^2 \right] \quad (35)$$

Reemplazando as expressões para temperatura media y perfil de velocidade axial

$$T_m = \frac{2}{u_m r_o^2} \int_0^{r_o} u T r dr, \quad \frac{u(r)}{u_m} = 2 \left[1 - \left(\frac{r}{r_o} \right)^2 \right] \quad (36)$$

$$T_m(x) = T_s(x) - \frac{11}{48} \left(\frac{u_m r_o^2}{\alpha} \right) \left(\frac{dT_m}{dx} \right) \quad (37)$$

Usando a equacao do fluxo masico, obtem-se

$$\dot{m} = \rho u_m \left(\pi \frac{D^2}{4} \right) \quad (38)$$

$$T_m(x) - T_s(x) = -\frac{11}{48} \frac{q_s'' D}{k} \quad (39)$$

E com $q_s'' = h(T_s - T_m)$

$$h = \frac{48}{11} \left(\frac{k}{D} \right) \quad (40)$$

$$Nu_D \sim \frac{hD}{k} = 4.36 \quad (41)$$

A uma taxa de transferência de calor constante

Referências

- [1] Adrian Bejan, Convection Heat Transfer. Durham, North Carolina, 3rd Edition, 2004.
- [2] Mohammad H. N. Naraghi, Solution of similarity transform equations for Boundary layers. Manhattan College, USA, ASME Exposition, 2004.